

标准化流模型 (Normalizing Flow)

1. Motivation of Normalizing Flow

标准化流模型 (Normalizing Flow, NF) [1] 是一种用于建模复杂分布的方法。在变分推断框架内，一般使用变分分布 $q(\mathbf{z}; \boldsymbol{\phi})$ 来近似真实后验分布 $p(\mathbf{z}|\mathbf{x})$ ，优化目标是如下证据下界(Evidence Lower Bound, ELBO):

$$\begin{aligned} \text{ELBO}(\boldsymbol{\phi}, \boldsymbol{\theta}) &= E_{q(\mathbf{z}; \boldsymbol{\phi})}[\log p(\mathbf{x}|\mathbf{z}; \boldsymbol{\theta})] - \text{KL}(q(\mathbf{z}; \boldsymbol{\phi})||p(\mathbf{z})) \\ &= \log p(\mathbf{x}) - \text{KL}(q(\mathbf{z}; \boldsymbol{\phi})||p(\mathbf{z}|\mathbf{x})) \end{aligned} \quad (1)$$

其中， $\boldsymbol{\phi}$ 是神经网络参数，其输入是数据 \mathbf{x} ，输出是变分分布 $q(\mathbf{z}; \boldsymbol{\phi})$ 的参数； $\boldsymbol{\theta}$ 是神经网络参数，其输入是隐变量 \mathbf{z} 的采样结果，输出是数据 \mathbf{x} 的预测分布 $p(\mathbf{x}|\mathbf{z}; \boldsymbol{\theta})$ ； $p(\mathbf{z})$ 是隐变量 \mathbf{z} 的先验分布； $\log p(\mathbf{x})$ 是对数边缘似然。

通常，为了方便，变分分布 $q(\mathbf{z}; \boldsymbol{\phi})$ 会假定为均值为 $\boldsymbol{\mu}_q$ ，方差 $\boldsymbol{\Sigma}_q$ 为的高斯分布 (这个参数是通过神经网络)，先验分布 $p(\mathbf{x}|\mathbf{z}; \boldsymbol{\theta})$ 会假定为标准高斯分布：

$$q(\mathbf{z}; \boldsymbol{\phi}) = \mathcal{N}(\mathbf{z}; \boldsymbol{\mu}_q, \boldsymbol{\Sigma}_q), \quad p(\mathbf{z}) = \mathcal{N}(\mathbf{z}; \mathbf{0}, \mathbf{I}) \quad (2)$$

事实上，使用变分推断作为极大似然估计手段的最初目的是，利用变分分布 $q(\mathbf{z}; \boldsymbol{\phi})$ 强大的表示能力，建模“任意复杂”的后验分布 $p(\mathbf{x}|\mathbf{z}; \boldsymbol{\theta})$ 。然而，公式 (2) 直接将 $q(\mathbf{z}; \boldsymbol{\phi})$ 简单地假定为高斯分布 $\mathcal{N}(\mathbf{z}; \boldsymbol{\mu}_q, \boldsymbol{\Sigma}_q)$ ，可能会限制其表示能力。

为此，NF 尝试将上述高斯分布 $q(\mathbf{z}; \boldsymbol{\phi}) = \mathcal{N}(\mathbf{z}; \boldsymbol{\mu}_q, \boldsymbol{\Sigma}_q)$ ，转化为 (概率密度函数形式) 更加复杂的分布 $q(\mathbf{z}; \boldsymbol{\phi})$ ，从而提升 $q(\mathbf{z}; \boldsymbol{\phi})$ 对于后验分布的建模能力。

2. Normalizing Flow

2.1 对于随机变量 \mathbf{z}_0 的一次非线性变换

首先以一个简单的例子说明标准化流模型的工作过程。

给定一个随机变量 \mathbf{z}_0 的高斯分布 (可以是非标准高斯分布):

$$q_0(\mathbf{z}_0) = \mathcal{N}(\mathbf{z}; \boldsymbol{\mu}, \boldsymbol{\Sigma}) \quad (3)$$

可以使用如下非线性函数 f 对随机变量 \mathbf{z}_0 做变换 (变换后变量的维度不变):

$$\mathbf{z}_1 = f(\mathbf{z}_0) \quad (4)$$

这时，相较于 \mathbf{z}_0 ，随机变量 \mathbf{z}_1 的“定义域”与“概率密度函数 $q_1(\mathbf{z}_1)$ ”均发生了改变，这一点在材料 [2,3] 中做了详细的说明。需要说明的是，我们要求变换函数 f 是可逆的。

我们关心 \mathbf{z}_1 概率密度函数 $q_1(\mathbf{z}_1)$ 的形式，其可表示如下:

$$q_1(\mathbf{z}_1) = q_0(\mathbf{z}_0) \left| \det \frac{\partial f^{-1}(\mathbf{z}_1)}{\partial \mathbf{z}_1} \right| = q_0(\mathbf{z}_0) \left| \det \frac{\partial f(\mathbf{z}_0)}{\partial \mathbf{z}_0} \right|^{-1} \quad (5)$$

其中， $f^{-1}(\mathbf{z}_1)$ 是 $f(\mathbf{z}_0)$ 的反函数， $\det(\cdot)$ 表示矩阵的行列式。

相较公式 (3), 公式 (5) 的形式是更加复杂的，且 $q_0(\mathbf{z}_0)$ 的缩放因子 $\left| \det \frac{\partial f(\mathbf{z}_0)}{\partial \mathbf{z}_0} \right|^{-1}$ 会使不同位置采样点概率密度值发生变化。例如，对于在高斯分布 $q_0(\mathbf{z}_0) = \mathcal{N}(\mathbf{z}; \boldsymbol{\mu}, \boldsymbol{\Sigma})$ 均值 $\boldsymbol{\mu}$ 周围的点 \mathbf{z}_0 来说， $q_0(\mathbf{z}_0)$ 是比较大的，而若缩放因子 $\left| \det \frac{\partial f(\mathbf{z}_0)}{\partial \mathbf{z}_0} \right|^{-1} \rightarrow 0$ ，那么，整体概率密度值 $q_0(\mathbf{z}_0) \left| \det \frac{\partial f(\mathbf{z}_0)}{\partial \mathbf{z}_0} \right|^{-1}$ 将趋于 0。

尽管已知 \mathbf{z}_1 的概率密度函数 $q_1(\mathbf{z}_1)$ 的形式，但相比于高斯分布 $q_0(\mathbf{z}_0) = \mathcal{N}(\mathbf{z}; \boldsymbol{\mu}, \boldsymbol{\Sigma})$ (可以通过“重参数化技巧”完成采样操作)，对于 $q_1(\mathbf{z}_1)$ 的采样操作仍是困难的。

根据 LOTUS 定理 (Law of the Unconscious Statistician)，对于 $q_1(\mathbf{z}_1)$ 的采样操作，可以使用关于 $q_0(\mathbf{z}_0)$ 的采样操作来做模拟，具体如下：

$$\mathbf{z}_1^{(k)} \sim q_1(\mathbf{z}_1) \Leftrightarrow \mathbf{z}_1^{(k)} = f(\mathbf{z}_0^{(k)}), \quad \mathbf{z}_0^{(k)} \sim q_0(\mathbf{z}_0) \quad (6)$$

这表示,对于 $q_1(\mathbf{z}_1)$ 的采样操作可以分为两个过程:首先,从原高斯分布 $q_0(\mathbf{z}_0)$ 中采样的得到样本 $\mathbf{z}_0^{(k)}$ 。然后,通过非线性变换 $\mathbf{z}_1^{(k)} = f(\mathbf{z}_0^{(k)})$ 得到 $\mathbf{z}_1^{(k)}$,作为 $q_1(\mathbf{z}_1)$ 的采样样本。

现在,假定随机变量 $\mathbf{z}_0 = [z_{0,1}, z_{0,2}]^\top \in \mathbb{R}^{2 \times 1}$ 服从如下高斯分布:

$$q_0(\mathbf{z}_0) = \mathcal{N}(\mathbf{z}; \boldsymbol{\mu}, \boldsymbol{\Sigma}) = \mathcal{N}\left(\mathbf{z}; \begin{bmatrix} 0 \\ 0 \end{bmatrix}, \begin{bmatrix} 1 & 0 \\ 0 & 1 \end{bmatrix}\right) \quad (7)$$

其概率密度函数图像如图 1(a) 所示。

公式 (4) 所定义的非线性变换函数如下:

$$\mathbf{z}_1 = \begin{bmatrix} z_{1,1} \\ z_{1,2} \end{bmatrix} = f(\mathbf{z}_0) = \mathbf{z}_0 + \mathbf{u} \operatorname{Tanh}(\mathbf{w}^\top \mathbf{z}_0 + b) \quad (8)$$

其中, $\mathbf{u} = \begin{bmatrix} u_1 \\ u_2 \end{bmatrix} = \begin{bmatrix} -3 \\ 1 \end{bmatrix} \in \mathbb{R}^{2 \times 1}$, $\mathbf{w} = \begin{bmatrix} w_1 \\ w_2 \end{bmatrix} = \begin{bmatrix} -1 \\ 5 \end{bmatrix} \in \mathbb{R}^{2 \times 1}$, $b = 1 \in \mathbb{R}$

后面我们会看到,以这种形式函数对随机变量做非线性变换的标准化流也被称为“平面流”(Planar flows)。

此时,变换函数关于 \mathbf{z}_0 的导数为:

$$\frac{\partial f(\mathbf{z}_0)}{\partial \mathbf{z}_0} = \mathbf{I} + \mathbf{u} \psi(\mathbf{z}_0)^\top \quad (9)$$

其中, $\psi(\mathbf{z}_0) = \operatorname{Tanh}'(\mathbf{w}^\top \mathbf{z}_0 + b) \mathbf{w} = \begin{bmatrix} 1 - \operatorname{Tanh}^2(w_1 z_{1,1} + b) & 0 \\ 0 & 1 - \operatorname{Tanh}^2(w_2 z_{1,2} + b) \end{bmatrix} \mathbf{w}$

其行列式为:

$$\det \frac{\partial f(\mathbf{z}_0)}{\partial \mathbf{z}_0} = \det(\mathbf{I} + \mathbf{u} \psi(\mathbf{z}_0)^\top) = 1 + \mathbf{u}^\top \psi(\mathbf{z}_0) \quad (10)$$

利用公式 (5), \mathbf{z}_1 的概率密度函数 $q_1(\mathbf{z}_1)$ 表示为:

$$q_1(\mathbf{z}_1) = q_0(\mathbf{z}_0) \left| \det \frac{\partial f(\mathbf{z}_0)}{\partial \mathbf{z}_0} \right|^{-1} = \mathcal{N}(\mathbf{z}; \boldsymbol{\mu}, \boldsymbol{\Sigma}) \cdot |1 + \mathbf{u}^\top \psi(\mathbf{z}_0)|^{-1} \quad (11)$$

其概率密度函数图像如图 1(b) 所示。

注意到,图中有部分区域是“空白的”,表示 \mathbf{z}_1 在对应区间内无有效取值。这是由于非线性变换 $\mathbf{z}_1 = f(\mathbf{z}_0)$ 会使得函数的定义域发生改变。同时,相较于 \mathbf{z}_0 ,随机变量 \mathbf{z}_1 的概率密度分布是更加复杂的。

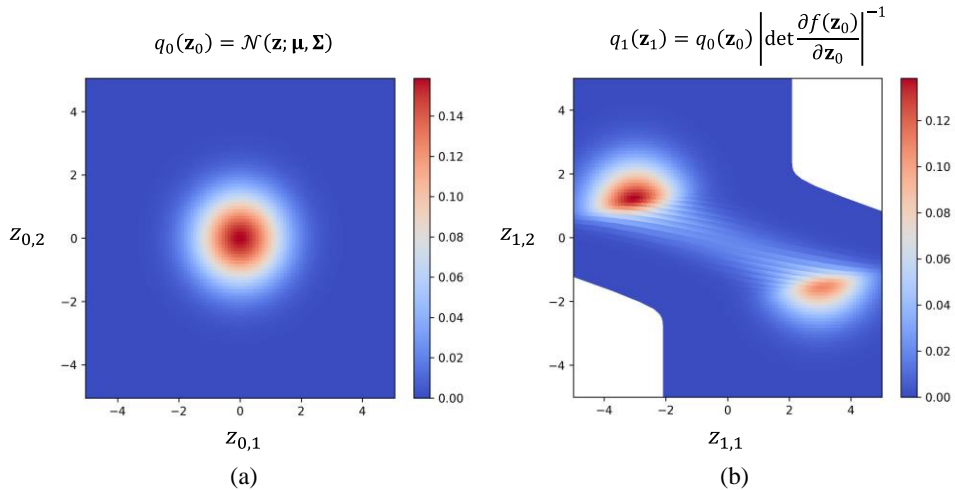


图 1: (a) 高斯分布 $q_0(\mathbf{z}_0) = \mathcal{N}(\mathbf{z}; \boldsymbol{\mu}, \boldsymbol{\Sigma})$ 的概率密度函数图像。(b) 复杂分布 $q_1(\mathbf{z}_1) = q_0(\mathbf{z}_0) \left| \det \frac{\partial f(\mathbf{z}_0)}{\partial \mathbf{z}_0} \right|^{-1}$ 的概率密度函数图像。

现在,利用公式 (6),我们对随机变量 \mathbf{z}_1 做采样操作。

首先对分布 $q_0(\mathbf{z}_0)$ 做 20 次采样操作(可通过重参数化技巧做模拟),得到随机变量 \mathbf{z}_0 的样本 $\mathbf{z}_0^{(1)}, \mathbf{z}_0^{(2)}, \dots, \mathbf{z}_0^{(20)}$,如图 2(a)所示。然后,通过公式 (4),对上述样本做非线性变换,得到随机变量 \mathbf{z}_1 的样本

$\mathbf{z}_1^{(1)} = f(\mathbf{z}_0^{(1)})$, $\mathbf{z}_1^{(2)} = f(\mathbf{z}_0^{(2)})$, ..., $\mathbf{z}_1^{(20)} = f(\mathbf{z}_0^{(20)})$, 如图 2(b) 所示。

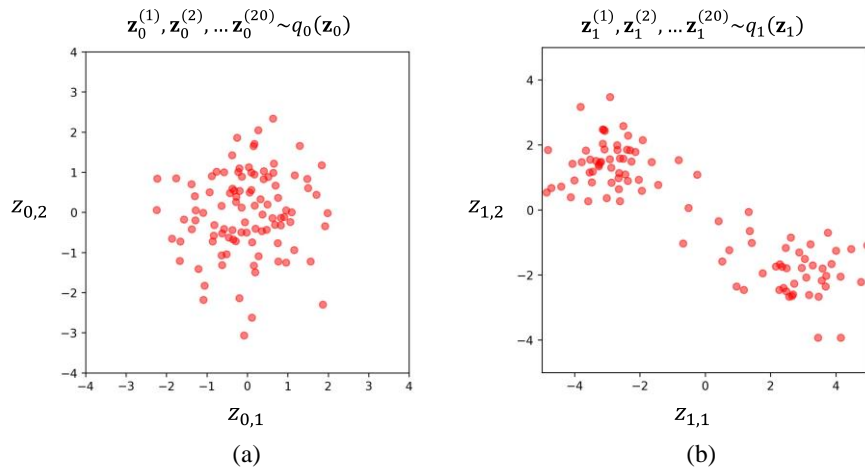


图 2: (a) 高斯分布 $q_0(\mathbf{z}_0) = \mathcal{N}(\mathbf{z}; \boldsymbol{\mu}, \boldsymbol{\Sigma})$ 的采样结果。 (b) 复杂分布 $q_1(\mathbf{z}_1)$ 的采样结果。

参考文献

- [1] Rezende D, Mohamed S. Variational inference with normalizing flows[C]/International conference on machine learning. PMLR, 2015: 1530-1538.
- [2] https://deepgenerativemodels.github.io/assets/slides/cs236_lecture7.pdf
- [3] https://deepgenerativemodels.github.io/assets/slides/cs236_lecture8.pdf